

Fig.8 ロット H における VSR 遺伝子阻害後の VEGF 分泌量の変化

RNAi 24 時間後に継代した細胞を、通常条件または低酸素条件にてさらに 24 時間培養し、回収した培養上清を用いて VEGF 分泌を検討した。縦軸は VEGF 濃度を示しており、横軸は遺伝子を示している。VSR6 遺伝子発現抑制によって低酸素下での VEGF 分泌量は有意な増加が見られ、VSR7 遺伝子発現抑制によって低酸素下での VEGF 分泌量は有意な減少が見られた。[平均値±SEM (n=5)] \* $p<0.05$  vs. NC-Hypoxia

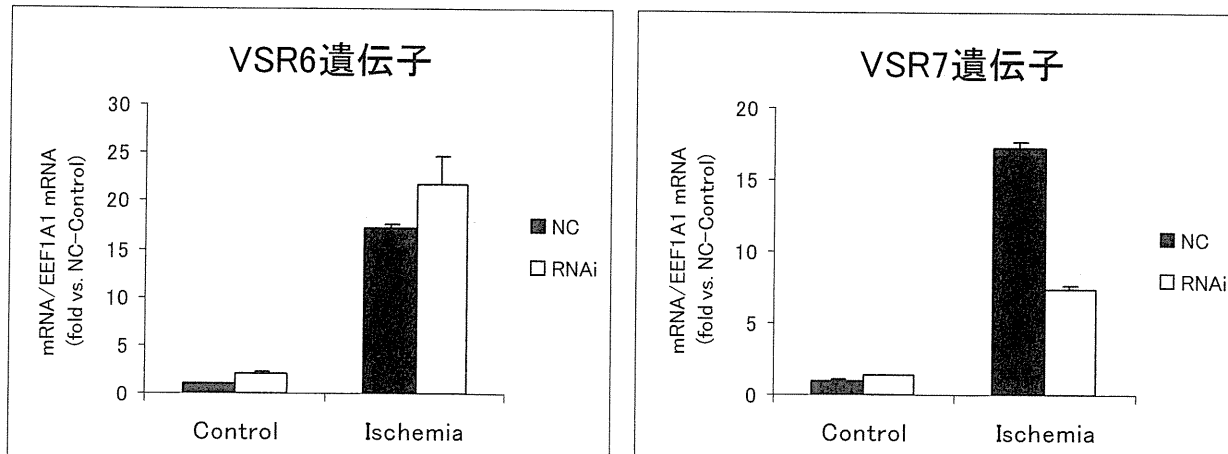


Fig.9 ロット A における VSR 遺伝子阻害後の VEGF 遺伝子発現量の変化

RNAi 24 時間後に継代した細胞を、通常条件または擬似的虚血条件にてさらに 24 時間培養し、回収した細胞より抽出した Total RNA を用いて遺伝子発現量を検討した。縦軸は通常条件 (Control) におけるネガティブコントロール (NC) 群の遺伝子発現量に対する比率を示しており、横軸は培養条件を示している。なお左図は VSR6 遺伝子、右図は VSR7 遺伝子発現抑制後の遺伝子変化を示している。擬似的虚血条件 (Ischemia) での VEGF 遺伝子発現量は、VSR6 遺伝子発現抑制によって上昇し、VSR7 遺伝子発現抑制によって減少した。[平均値±SEM (n=3)]

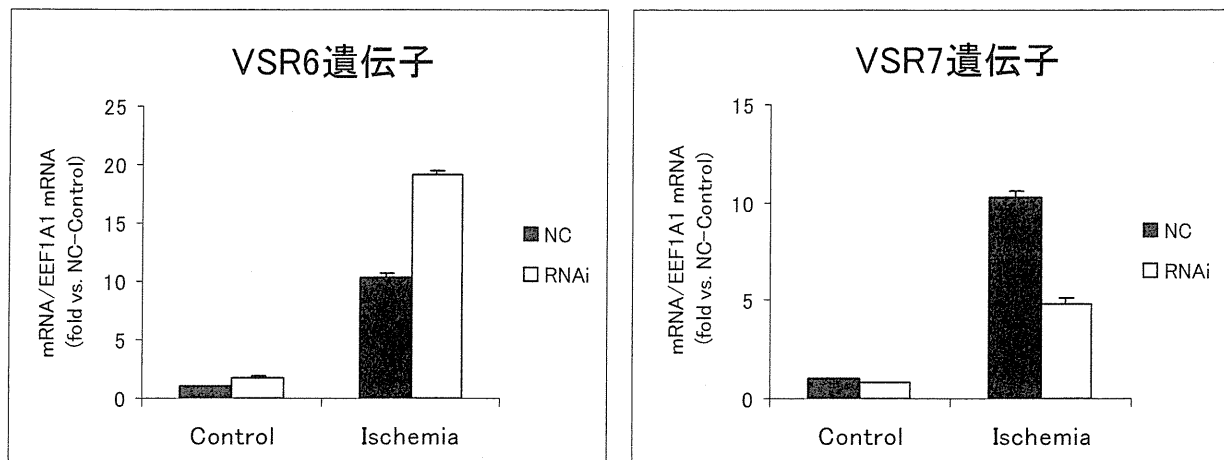


Fig.10 ロット H における VSR 遺伝子阻害後の VEGF 遺伝子発現量の変化

RNAi 24 時間後に継代した細胞を、通常条件または擬似的虚血条件にてさらに 24 時間培養し、回収した細胞より抽出した Total RNA を用いて遺伝子発現量を検討した。縦軸は通常条件 (Control) におけるネガティブコントロール (NC) 群の遺伝子発現量に対する比率を示しており、横軸は培養条件を示している。なお左図は VSR6 遺伝子、右図は VSR7 遺伝子発現抑制後の遺伝子変化を示している。擬似的虚血条件 (Ischemia) での VEGF 遺伝子発現量は、VSR6 遺伝子発現抑制によって上昇し、VSR7 遺伝子発現抑制によって減少した。[平均値±SEM (n=3)]

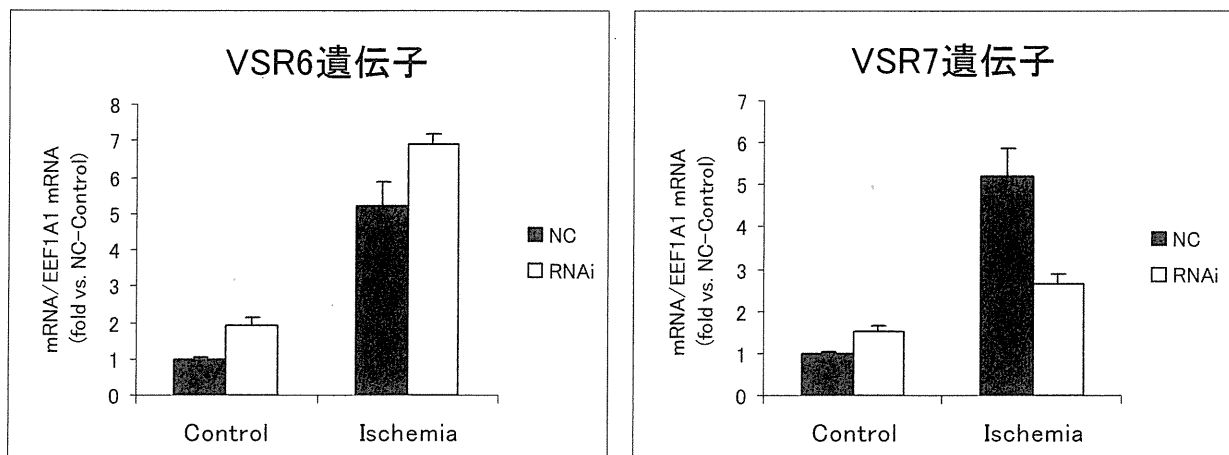


Fig.11 ロット A における VSR 遺伝子阻害後の SERPINE 遺伝子発現量の変化

RNAi 24 時間後に継代した細胞を、通常条件または擬似的虚血条件にてさらに 24 時間培養し、回収した細胞より抽出した Total RNA を用いて遺伝子発現量を検討した。縦軸は通常条件 (Control) におけるネガティブコントロール (NC) 群の遺伝子発現量に対する比率を示しており、横軸は培養条件を示している。なお左図は VSR6 遺伝子、右図は VSR7 遺伝子発現抑制後の遺伝子変化を示している。擬似的虚血条件 (Ischemia) での VEGF 遺伝子発現量は、VSR6 遺伝子発現抑制によって上昇し、VSR7 遺伝子発現抑制によって減少した。[平均値±SEM (n=3)]

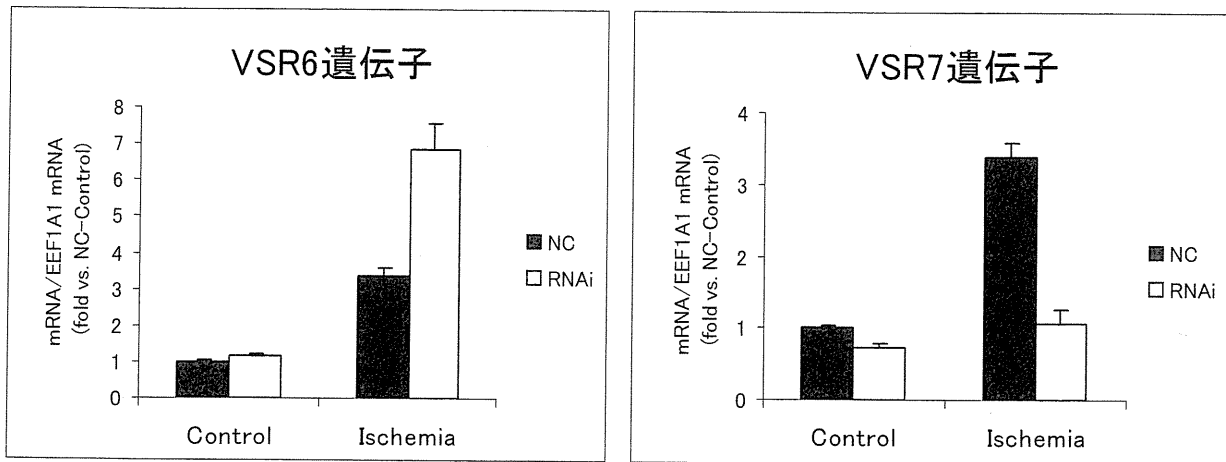


Fig.12 ロット H における VSR 遺伝子阻害後の SERPINE 遺伝子発現量の変化

RNAi 24 時間後に継代した細胞を、通常条件または擬似的虚血条件にてさらに 24 時間培養し、回収した細胞より抽出した Total RNA を用いて遺伝子発現量を検討した。縦軸は通常条件 (Control) におけるネガティブコントロール (NC) 群の遺伝子発現量に対する比率を示しており、横軸は培養条件を示している。なお左図は VSR6 遺伝子、右図は VSR7 遺伝子発現抑制後の遺伝子変化を示している。擬似的虚血条件 (Ischemia) での VEGF 遺伝子発現量は、VSR6 遺伝子発現抑制によって上昇し、VSR7 遺伝子発現抑制によって減少した。

[平均値±SEM (n=3)]

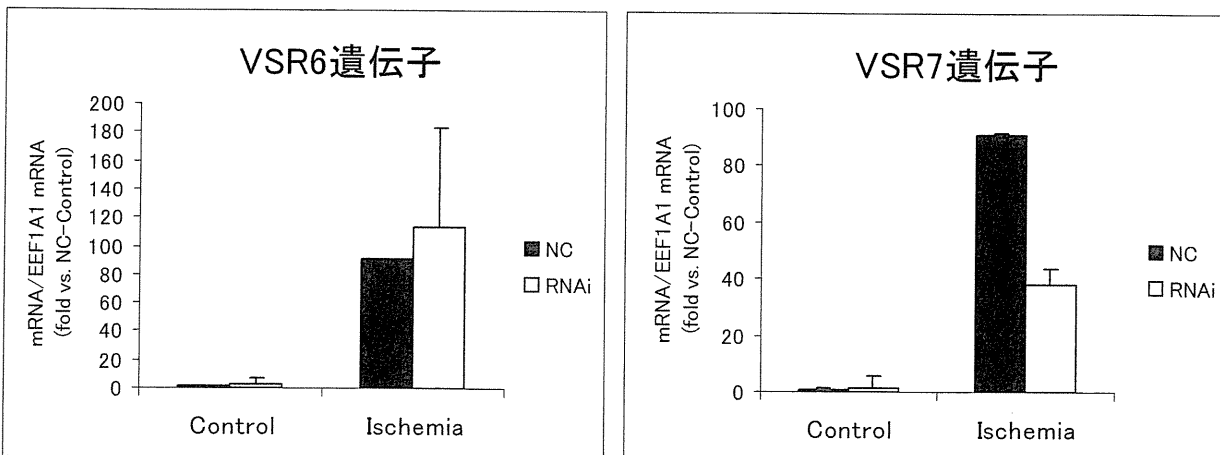


Fig.13 ロット A における VSR 遺伝子阻害後の PDGF  $\beta$  遺伝子発現量の変化

RNAi 24 時間後に継代した細胞を、通常条件または擬似的虚血条件にてさらに 24 時間培養し、回収した細胞より抽出した Total RNA を用いて遺伝子発現量を検討した。縦軸は通常条件 (Control) におけるネガティブコントロール (NC) 群の遺伝子発現量に対する比率を示しており、横軸は培養条件を示している。なお左図は VSR6 遺伝子、右図は VSR7 遺伝子発現抑制後の遺伝子変化を示している。擬似的虚血条件 (Ischemia) での VEGF 遺伝子発現量は、VSR6 遺伝子発現抑制によって上昇し、VSR7 遺伝子発現抑制によって減少した。[平均値±SEM (n=3)]

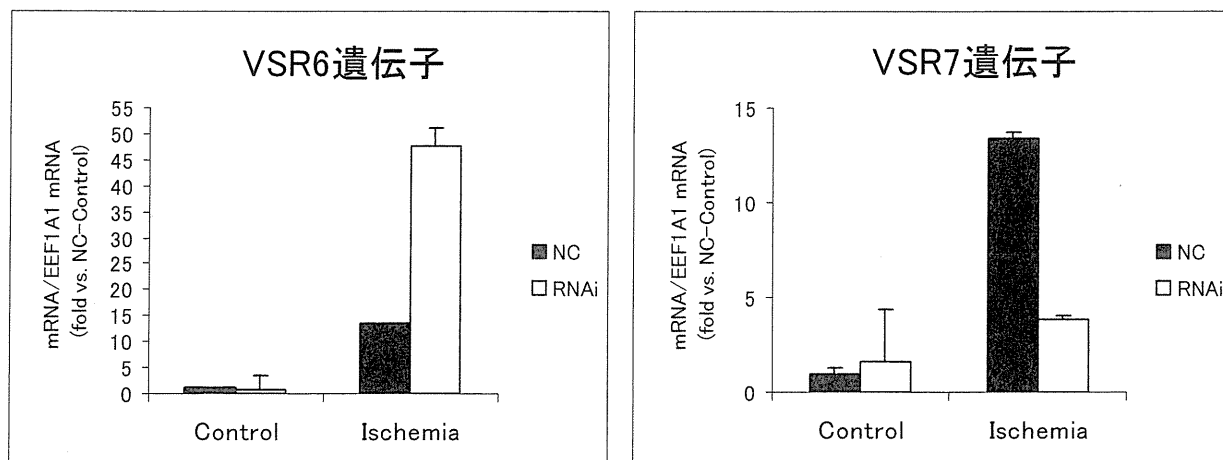


Fig.14 ロット H における VSR 遺伝子阻害後の PDGF  $\beta$  遺伝子発現量の変化

RNAi 24 時間後に継代した細胞を、通常条件または擬似的虚血条件にてさらに 24 時間培養し、回収した細胞より抽出した Total RNA を用いて遺伝子発現量を検討した。縦軸は通常条件 (Control) におけるネガティブコントロール (NC) 群の遺伝子発現量に対する比率を示しており、横軸は培養条件を示している。なお左図は VSR6 遺伝子、右図は VSR7 遺伝子発現抑制後の遺伝子変化を示している。擬似的虚血条件 (Ischemia) での VEGF 遺伝子発現量は、VSR6 遺伝子発現抑制によって上昇し、VSR7 遺伝子発現抑制によって減少した。[平均値  $\pm$  SEM (n=3)]

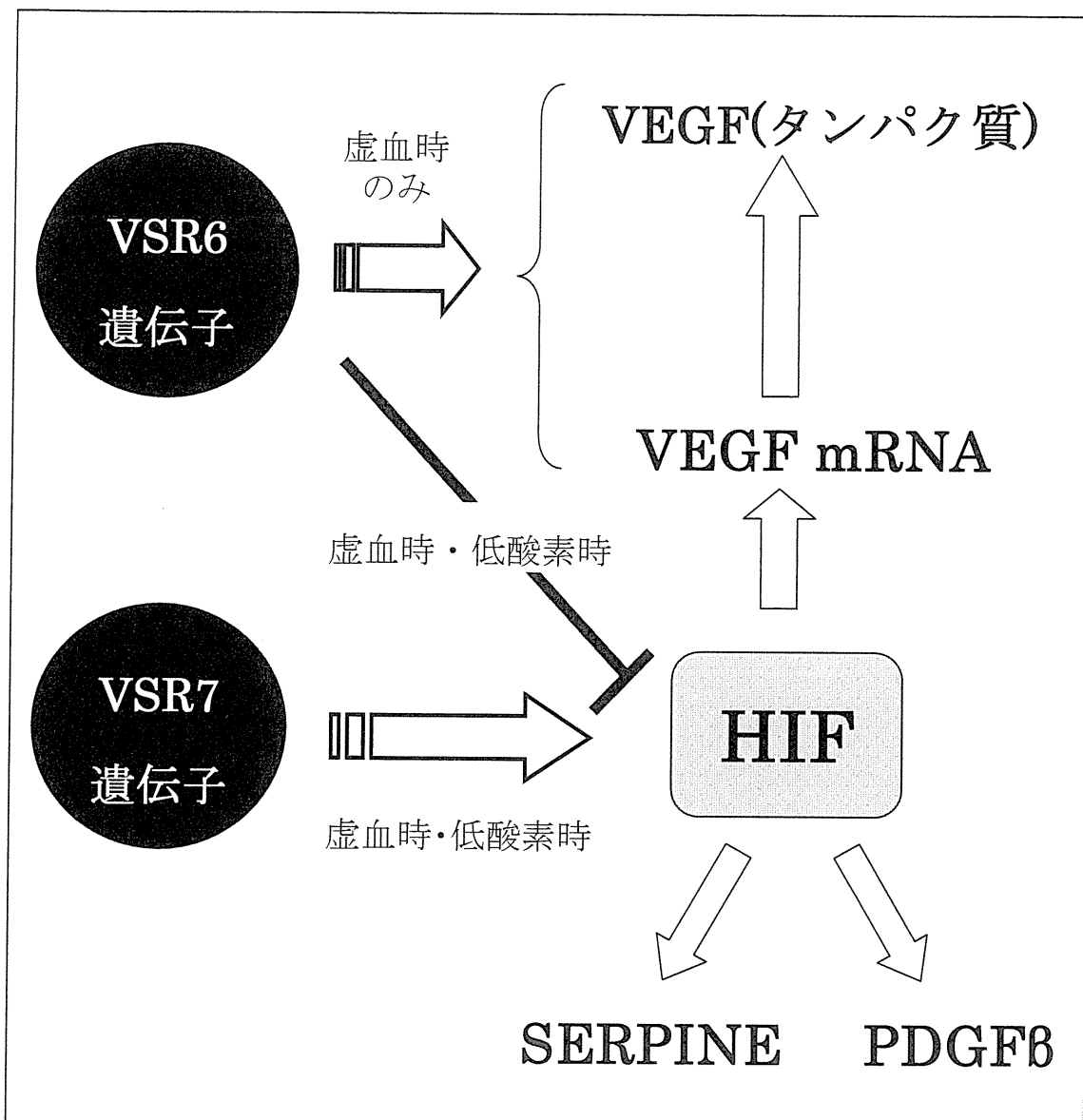


Fig.15 VSR6 および VSR7 の虚血応答性 VEGF 分泌における推定作用点

VSR7 遺伝子は、HIF の作用（または発現）を調節していることが示唆される。VSR7 遺伝子発現抑制後の虚血応答性 VEGF 分泌の減少も、HIF の作用調節を介したものである可能性が高い。VSR6 遺伝子発現抑制後、虚血条件下において VEGF（タンパク質）は減少するが、VEGF 遺伝子の発現は上昇した。従って、虚血応答性 VEGF（タンパク質）分泌において VSR6 遺伝子は、mRNA の転写後を調節している可能性が高い。

厚生労働科学研究費補助金（医薬品・医療機器等レギュラトリーサイエンス総合研究事業）

「再生医療製品の品質・安全性評価のための新たな指標に関する研究」

分担研究報告書

幹細胞の *in vitro* 培養工程における  
遺伝子発現の動態解析による品質評価技術の開発

研究分担者 澤田留美 国立医薬品食品衛生研究所 医療機器部

研究協力者 河野 健 国立医薬品食品衛生研究所 医療機器部

研究要旨

間葉系幹細胞の *in vitro* 培養時の遺伝子発現変化を網羅的に解析し、Ewing 肉腫を陽性対照として比較検討することにより、細胞のがん化の指標となり得る候補遺伝子を探査することを試みた。幹細胞のがん化の陽性対照となり得る可能性をもつ Ewing 肉腫細胞を 4 種類(Hs822.T, Hs863.T, RD·ES, SK·ES-1) 用いて遺伝子発現の網羅的解析を行い、骨髄由来間葉系幹細胞(hMSC)との比較を行うことにより、肉腫細胞に特異的な発現パターンについて検討した。その結果、肉腫細胞の遺伝子の発現パターンについて、Hs822.T と Hs863.T、RD·ES と SK·ES-1 のそれぞれが類似した発現パターンを示し、さらに Hs822.T と Hs863.T については、他の 2 種の肉腫細胞よりも hMSC の発現パターンにより類似している事がわかった。悪性度の高い乳がんの遺伝子発現パターンが ES 細胞の発現パターンに近いというがんの悪性度と未分化度の関連を示唆する報告もあることから、まずは hMSC に似た発現パターンの Hs822.T と Hs863.T に着目した。その両者とも hMSC よりも 10 倍以上発現が変化した遺伝子を探査したこと、44 遺伝子抽出された。さらにその中で、RD·ES と SK·ES-1 でも 10 倍以上の変化が見られたものは CCND2, IGF2BP1 など 9 遺伝子であった。また、両遺伝子とも hMSC と比較して肉腫細胞 4 種類の方が、その発現レベルがはるかに高い事も RT-PCR によって確認した。

A. 研究目的

間葉系幹細胞は、骨、軟骨等に加え、肝、心筋など胚葉を越えた分化も可能な細胞であり、幅広い医療分野での再生医療への応用を目指した臨床研究がすでに行われている。現在、骨髄、脂肪組織、臍帯血由来の間葉系幹細胞について、その採取技術及び *in vitro* での培養技術が確立されており、それぞれの由来によって分化能を含む細胞の性質の違いなども示されている。幹細胞は多分化能と同時に自己複製能を持つ細胞であるため、正常細胞でありながら増殖能力を持つ。幹細胞を再生医療製品に利用するためには、細胞を生体内から取り出して *in*

*vitro* で培養して増殖させるという工程を経る場合が多い。しかし、*in vitro* 培養中の自己複製能が正常に制御されていない場合、がん化のような好ましくない変化が起きる可能性も否定できない。このため、幹細胞の *in vitro* 培養中の性質の変化に着目し、その品質を検討することは非常に重要であると思われる。再生医療において、増殖期間中における幹細胞の phenotype 維持は、その後の治療への利用の際に非常に重要となる。一方、長期培養に伴う幹細胞のがん化も報告<sup>1)</sup>されたが、その後その報告は取り下げられており<sup>2)</sup>、未だ長期培養による影響の全貌は把握されていない。再生医療の

健全且つ迅速な発展には細胞及び細胞製品の安全性や品質を担保することが必須であり、少なくとも一定期間の培養において幹細胞の品質が維持されているかを評価・判定する指標が求められる。

そこで本研究では、幹細胞の安全性と品質の確保に関する新規評価手法の開発を目的として、遺伝子発現解析技術により、バイオマーカーを検索することによって幹細胞の品質を確保する許容変動域の設定を目指す。平成23年度は、幹細胞の培養時の安全性として最も懸念されるがん化について、近年その由来が間葉系幹細胞であろうと報告<sup>3)</sup>されているEwing肉腫を陽性対照として間葉系幹細胞と比較検討し、幹細胞の安全性を評価するための遺伝子レベルにおけるマーカーの検索を行った。

## B. 研究方法

### 1. 細胞培養

1) ヒト間葉系幹細胞：hMSC (Lonza) は、Mesenchymal Stem Cell Growth Medium (MSCGM) に Mesenchymal Cell Growth Supplement (MCGS) を加えた培地で培養した。

2) Ewing 肉腫：Hs 822.T (ATCC) は Dulbecco's Modified Eagle's medium (DMEM ; Gibco) に 10%FBS (Intergen) を加えた培地で培養した。

3) Ewing 肉腫：Hs 863.T (ATCC) は Dulbecco's Modified Eagle's medium (DMEM ; Gibco) に 10%FBS (Intergen) を加えた培地で培養した。

4) Ewing 肉腫：RD·ES (ATCC) は RPMI-1640 Medium (Gibco) に 15%FBS (Intergen) を加えた培地で培養した。

5) Ewing 肉腫:SK-ES-1(ATCC) は McCoy's 5a Medium Modified (Gibco) に 15%FBS (Intergen) を加えた培地で培養した。

用いたEwing肉腫の由来等の情報について、

表1に示した。

### 2. Total RNA の調製

hMSC、Hs 822.T、Hs 863.T、RD·ES、SK-ES-1 から RNeasy Mini Kit (QIAGEN) を用いて total RNA を調製した。

### 3. DNA マイクロアレイ解析

それぞれの total RNA を用いて、Affymetrix GeneChip Human Genome U133 Plus 2.0 Array にて mRNA 発現を網羅的に測定した。さらに、得られたマイクロアレイデータから GeneSpring GX 11 (Agilent Technologies) を用いて統計学的、生物学的解析を行った。

### 4. Real time (RT)-PCR による mRNA 発現量の定量的解析

抽出した total RNA の cDNA への逆転写は SuperScript III First-Strand Synthesis System (Invitrogen) を用いて行った。そしてそれぞれの細胞の CCND2、IGF2BP1 の mRNA 発現レベルについて Real time-PCR 法にて検討した。PCR に使用したプライマーは、

CCND2 : Forward  
5'-TACTTCAAGTGCGTGCAGAAGGAC-3',

Reverse

5'-TCCCCACACTTCCAGTTGCGATCAT-3' 、  
IGF2BP1 : Forward 5'-

CAGAAGGGACAGAGTAACCAG-3', Reverse  
5'-GAGATCAGGGTTCTCACTG-3'である。

一方、ハウスキーピング遺伝子として GAPDH を用い、PCR 反応はライトサイクラー専用ヒト mRNA 定量プライマーセット (Search-LC) を用いて行った。PCR 反応は、Light Cycler Fast Start DNA Master SYBR Green I (Roche Diagnostics) を用いて Roche Light Cycler (version 4.0) で行った。

### 5. 倫理面への配慮

本研究において用いたヒト骨髄由来間葉系幹細胞及び4種類のEwing肉腫は全て市販品であり、倫理的問題はないと思われる。

### C. 研究結果

Ewing 肉腫細胞 4 種類 (Hs822.T, Hs863.T, RD·ES, SK·ES·1) について遺伝子発現の網羅的解析を行い、骨髓由来間葉系幹細胞 (hMSC) との比較を行うことにより、肉腫細胞に特異的な発現パターンについて検討した。hMSC 及び肉腫細胞の遺伝子の発現パターンについて、GeneSpring GX 11 を用いて階層的クラスタリングを行ったところ、Hs822.T と Hs863.T、RD·ES と SK·ES·1 のそれぞれが類似した発現パターンを示し、さらに Hs822.T と Hs863.T については、他の 2 種の肉腫細胞よりも hMSC の発現パターンにより類似している事が示された。(図 1)

次に、それぞれの肉腫細胞について hMSC と比較して 10 倍以上発現が変化した遺伝子を抽出した。Hs822.T において hMSC と比較して 10 倍以上発現が高かった遺伝子は 33 遺伝子あり、発現比の高い順に表 2 に示した。一方、10 分の 1 以下であったものは 29 遺伝子あり、発現比の低い順に表 3 に示した。また Hs863.T についても同様に抽出し、10 倍以上発現が高かった遺伝子は 31 遺伝子 (表 4)、10 分の 1 以下であったものは 40 遺伝子 (表 5) であった。RD·ES については、10 倍以上発現が高かった遺伝子は 110 遺伝子 (表 6)、10 分の 1 以下であったものは 429 遺伝子 (表 7) であった。そして SK·ES·1 については、10 倍以上発現が高かった遺伝子は 99 遺伝子 (表 8)、10 分の 1 以下であったものは 401 遺伝子 (表 9) であった。

悪性度の高い乳がんの遺伝子発現パターンが ES 細胞の発現パターンに近いというがんの悪性度と未分化度の関連を示唆する報告<sup>4)</sup>もあることから、まずは hMSC に似た発現パターンの Hs822.T と Hs863.T に着目した。その両者とも hMSC よりも 10 倍以上発現が変化した遺伝子を探査したところ、44 遺伝子が抽出された。(表 10) さらにその中で、RD·ES と SK·ES·1 でも 10 倍以上の変化が見られた

ものに絞り込むと、9 遺伝子が抽出された。(表 11)

これらの遺伝子のうち、悪性度を含めたがん化に関わることが報告されている遺伝子である CCND2<sup>5,6)</sup> と IGF2BP1<sup>7,8)</sup> に着目し、Real time-PCR にて mRNA 発現レベルを測定した。その結果、いずれの遺伝子も hMSC と比較して肉腫細胞 4 種類の方が、はるかに発現レベルが高い事が確認された。(図 2)

### D. 考察

再生医療製品への応用が期待されている幹細胞の培養時の安全性として最も懸念されるがん化について、間葉系幹細胞の安全性を評価するための遺伝子レベルにおけるマーカーの検索を行った。近年その由来が間葉系幹細胞であろうと報告<sup>3)</sup>されている Ewing 肉腫を陽性对照として間葉系幹細胞と比較検討した。Ewing 肉腫とは、主として若年者の骨に発生する未分化で悪性度の高い腫瘍である。Ewing 肉腫症例の約 85%において、染色体転座 t(11;22)(q24;q12) が認められる。この相互転座部位には 11 番染色体の FLI-1 遺伝子と 22 番染色体の EWS 遺伝子の融合遺伝子 EWS/FLI-1 が形成される。この融合遺伝子が Ewing 肉腫発生の原因であろうと考えられている。t(11;22)(q24;q12) 以外の染色体転座の症例もあり、t(21;22)(q22;q12) が Ewing 肉腫の 10-15% の症例で見られる。

本研究において、Ewing 肉腫細胞 4 種類 (Hs822.T, Hs863.T, RD·ES, SK·ES·1) について遺伝子発現の網羅的解析を行い、骨髓由来間葉系幹細胞 (hMSC) との比較を行うことにより、肉腫細胞に特異的な発現パターンについて検討した。その結果、Hs822.T と Hs863.T、RD·ES と SK·ES·1 のそれぞれが類似した発現パターンを示し、さらに Hs822.T と Hs863.T については、他の 2 種の肉腫細胞よりも hMSC の発現パターンにより類似している事がわかった

った。悪性度の高い乳がんの遺伝子発現パターンが ES 細胞の発現パターンに近いというがんの悪性度と未分化度の関連を示唆する報告<sup>4)</sup>もあることから、まずは hMSC により近い遺伝子発現パターンを示した Hs822.T と Hs863.T の Ewing 肉腫に着目し、さらに RD·ES と SK·ES·1 との共通性を探索する事で候補遺伝子の絞り込みを試みた。本研究は幹細胞の安全性と品質の確保に関する新規評価手法の開発のためのバイオマーカーを検索することが最終目的であるため、幹細胞と肉腫細胞との間での遺伝子発現の差がより大きいものを抽出することとし、両細胞間で 10 倍以上の遺伝子発現の変化があったものを抽出し候補遺伝子を絞り込んだ。hMSC に似た発現パターンの Hs822.T と Hs863.T とも hMSC よりも 10 倍以上発現が変化した遺伝子を探索したところ、44 遺伝子抽出され、さらにその中で、RD·ES と SK·ES·1 でも 10 倍以上の変化が見られたものは 9 遺伝子であった。これらの遺伝子のうち、CCND2<sup>5,6)</sup>と IGF2BP1<sup>7,8)</sup>は悪性度を含めたがん化に関わることが報告されている遺伝子であるため、間葉系幹細胞のがん化に関わる安全性を評価するためのマーカー遺伝子の候補となり得るのではないかと着目した。CCND2 は細胞増殖などを制御する Cell Cycle に関わる遺伝子の一つであり、IGF2BP1 は mRNA の核外輸送、局在性、安定性、翻訳などに影響を与える RNA 結合因子で細胞増殖などに関わる。RT·PCR により、両遺伝子ともその mRNA 発現レベルが hMSC と比較して肉腫細胞 4 種類の方が、はるかに高い事を確認した。

今後、CCND2 と IGF2BP1 が実際に幹細胞のがん化のマーカーとなり得るかの妥当性を確認するために、間葉系幹細胞に両遺伝子をそれぞれ過剰発現させ、幹細胞の増殖や形態等に影響を及ぼすのかを検討していく予定である。

## E. 結論

幹細胞のがん化の陽性対照となり得る可能性をもつ Ewing 肉腫細胞を 4 種類 (Hs822.T, Hs863.T, RD·ES, SK·ES·1) 用いて遺伝子発現の網羅的解析を行い、骨髄由来間葉系幹細胞 (hMSC) との比較を行った。その結果、肉腫細胞の遺伝子の発現パターンについて、Hs822.T と Hs863.T、RD·ES と SK·ES·1 のそれぞれが類似した発現パターンを示し、さらに Hs822.T と Hs863.T については、他の 2 種の肉腫細胞よりも hMSC の発現パターンにより類似している事がわかった。全ての Ewing 肉腫細胞において hMSC よりも 10 倍以上発現が変化した遺伝子を探索したところ、CCND2, IGF2BP1 など 9 遺伝子であった。そして、RT·PCR により両遺伝子とも hMSC と比較して肉腫細胞 4 種類の方が、その mRNA 発現レベルがはるかに高い事を確認した。

## F. 研究発表

### 学会発表

- 1) 澤田留美、松岡厚子「チタンディスク上で培養したヒト間葉系幹細胞の遺伝子発現に関する網羅的解析」 第33回日本バイオマテリアル学会大会 (2011.11)
- 2) R. Sawada, Y. Haishima, K. Isama, A. Matsuoka; Effect of surface-modified titanium by chemical treatment on the gene expression profile in osteogenic differentiation of human mesenchymal stem cells, SOT's 51st Annual Meeting (2012.3)

### 参考文献

- 1) D. Rubio, J. Garcia-Castro, M.C. Martin, R. Fuente, J.C. Cigudosa, A.C. Lloyd, and A. Bernad, *Cancer Res.*, 65, 3035-3039 (2005)
- 2) R. Fuente, A. Bernad, J. Garcia-Castro, M.C. Martin, and J.C. Cigudosa, *Cancer Res.*, 70, 6682 (2010)

- 3) N. Riggi, M.L. Suvà, D. Suvà, L. Cironi, P. Provero, S. Tercier, J.M. Joseph, J.C. Stehle, K. Baumer, V. Kindler, I. Stamenkovic, *Cancer Res* **68**, 2176-2185 (2008)
- 4) I. Ben-Porath, M.W. Thomson, V.J. Carey, R. Ge, G.W. Bell, A. Regev, and R.A. Weinberg, *Nature genetics*, **40**, 499-507 (2008)
- 5) R. Mitra, J. Lee, J. Jo, M. Milani, J.N. McClintick, H.J. Edenberg, K.A. Kesler, K.M. Rieger, S. Badve, O.W. Cummings, A. Mohiuddin, D.G. Thomas, X. Luo, B.E. Julian, L. Li, C. Mesaros, I.A. Blair, A. Srirangam, R.A. Kratzke, C.J. McDonald, J. Kim, D.A. Potter, *Clin. Cancer Res.*, **17**, 2934-2946 (2011)
- 6) M. Kheirollahi, M. Mehr-Azin, N. Kamalian, P. Mehdipour, *Med. Oncol.*, **28**, 7-14 (2011)
- 7) T. Kato, S. Hayama, T. Yamabuki, N. Ishikawa, M. Miyamoto, T. Ito, E. Tsuchiya, S. Kondo, Y. Nakamura, Y. Daigo, *Clin. Cancer Res.*, **13**, 434-442 (2007)
- 8) L. Gu, K. Shigemasa, K. Ohama, *Int .J. Oncol.*, **24**, 671-678 (2004)

表1

解析に用いた Ewing 肉腫細胞について

88

	Hs 822.T	Hs 863.T	RD-ES	SK-ES-1
Organism	Homo sapiens (human)	Homo sapiens (human)	Homo sapiens (human)	Homo sapiens (human)
Morphology	epithelial	fibroblast	epithelial	epithelial
Source	bone	bone	bone	bone sarcoma
Disease	Ewing's sarcoma	Ewing's sarcoma	Ewing's sarcoma	(anaplastic osteosarcoma or Ewing's sarcoma)
Age	9y	5y	19y	18y
Gender	F	F	M	M
Ethnicity	Caucasian	Caucasian	Caucasian	Caucasian

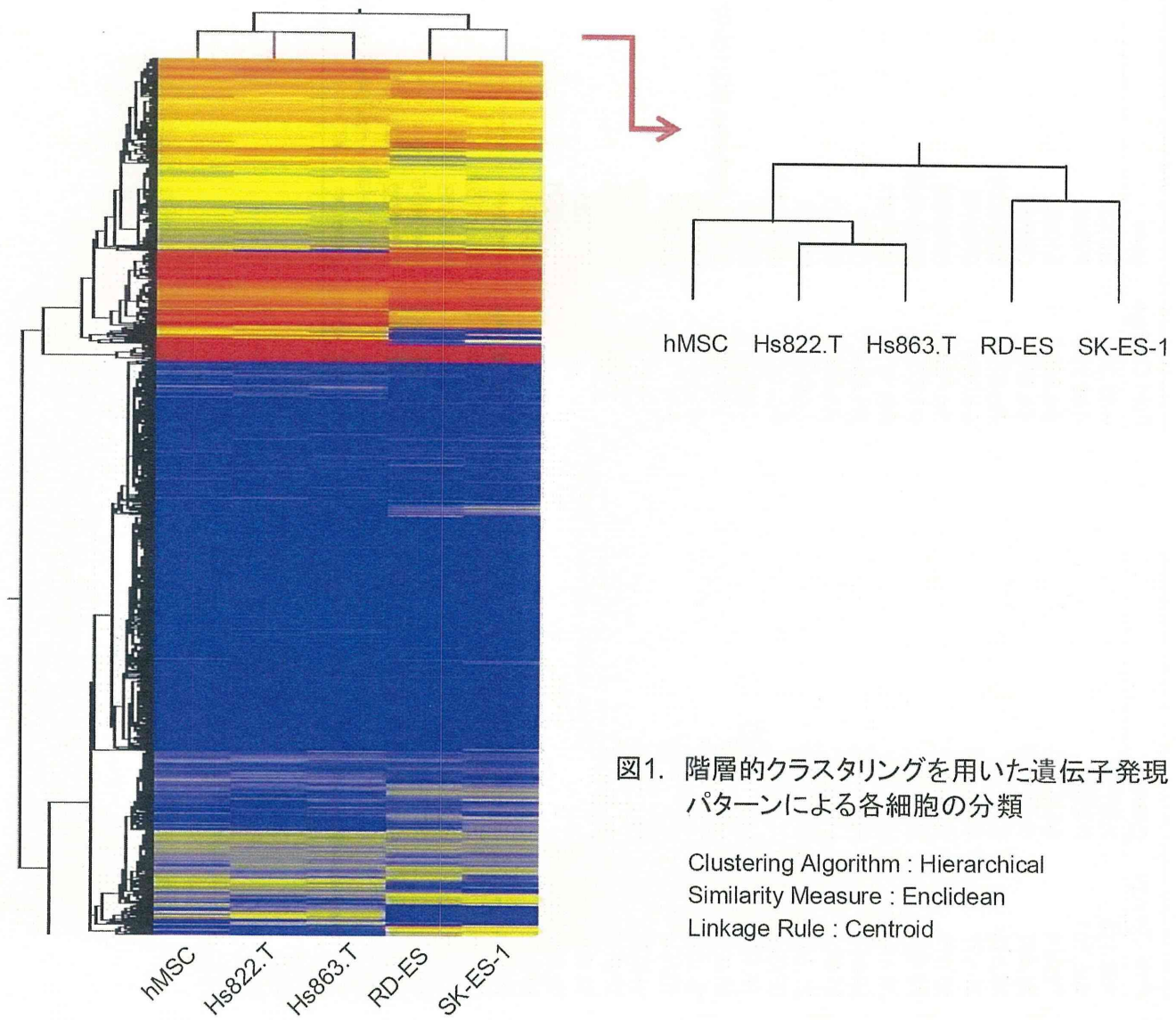


図1. 階層的クラスタリングを用いた遺伝子発現  
パターンによる各細胞の分類

Clustering Algorithm : Hierarchical  
Similarity Measure : Euclidean  
Linkage Rule : Centroid

表2. Hs822.TにおいてhMSCと比較して発現レベルが10倍以上であった遺伝子

Fold Change	gene
156.118	XIST
156.101	PTPRB
79.594	SSTR1
38.867	SLC24A3
38.078	CCND2
37.577	TMEFF2
28.372	ITGA9
28.201	DAZL
28.169	SFRP2
22.847	IGF2BP1
21.948	LGR5
21.722	CLEC2B
20.072	FAT3
17.155	LOC644192
16.004	KRT18
15.430	PCDH9
15.051	S100A4
14.957	EBF2
14.812	MYO1D
14.569	PCDH10
14.520	THEMIS
13.992	LOC286191
13.619	SGIP1
13.606	EPHA5
13.514	HDAC9
13.371	NR2F2
13.164	PTPRO
12.127	ANKRD37
12.048	PAPPA
11.485	HGD
11.431	IFIT2
11.101	PI16
10.366	COBLL1

表3. Hs822.TにおいてhMSCと比較して発現レベルが1/10以下であった遺伝子

Fold Change	gene
-440.269	DDX3Y
-109.973	PENK
-94.550	S100B
-54.591	GPR37
-39.826	SEMA3A
-25.702	SHISA2
-24.490	STEAP4
-23.560	KIAA1644
-22.460	HAPLN1
-21.851	DLX6
-20.318	GTSE1
-19.482	MCAM
-19.146	KBTBD11
-18.992	FBLN1
-17.740	ORC1 (includes EG:18392)
-16.720	BEND5
-15.638	HOXB7
-14.106	SCARA3
-12.727	FBXO43
-12.428	HOXB3
-12.411	ASPHD1
-12.305	HOXB7
-11.613	HMCN1
-11.584	CYorf15A
-11.353	RAB27B
-10.727	ANKRD5
-10.437	PLCXD2
-10.156	HIST1H4A (includes others)
-10.102	IGF2

表4. Hs863.TにおいてhMSCと比較して発現レベルが10倍以上であった遺伝子

Fold Change	gene
143.650	XIST
116.305	PTPRB
75.637	SLC24A3
57.297	HGD
56.218	LGR5
52.231	PTPRO
51.854	DAZL
45.390	KRT18
37.702	CCND2
30.118	SERPINB2
22.645	PCDH10
22.358	IGF2BP1
22.218	THEMIS
20.005	ANO3
19.465	MGP
17.145	EPHA5
17.093	EBF2
16.397	LOC644192
16.059	LOC100507421
14.920	MYO1D
14.840	SSTR1
14.699	LOC286191
14.504	PCDH9
14.393	CLEC2B
13.651	COBLL1
11.793	PDLIM3
11.763	SGIP1
11.744	NR2F2
11.582	IFIT2
11.344	LOXL2
10.463	TMEFF2

表5. Hs863.TにおいてhMSCと比較して発現レベルが1/10以下であった遺伝子

Fold Change	gene
-693.859	DDX3Y
-202.646	NGEF
-197.845	KIAA1644
-143.480	S100B
-80.753	PENK
-47.589	C10orf93
-47.362	KRTAP1-3
-42.967	GPR37
-42.206	SEMA3A
-33.004	DLX6
-32.973	ASPHD1
-27.459	CD24
-24.363	FBLN1
-23.568	CLCN4
-22.246	SOX4
-22.110	ORC1 (includes EG:18392)
-19.837	KBTBD11
-18.837	STEAP4
-18.352	HMMR
-14.819	BEND5
-13.580	DLEU2
-13.478	IGF1
-13.056	MAFB
-12.768	GTSE1
-12.740	BAALC
-12.732	GNG2
-12.709	CENPA
-12.626	FOXQ1
-12.403	PTGDS
-12.357	SCARA3
-11.738	HAPLN1
-11.443	DLGAP5
-11.111	CCNA2
-10.732	PLCXD2
-10.692	CRIP1
-10.525	DDIT4L
-10.298	IGF2
-10.198	CASC5
-10.167	CHRDL1
-10.122	MCM10 (includes EG:307126)
-10.111	SHISA2

表6. RD-ESIにおいてhMSCと比較して発現レベルが10倍以上であった遺伝子

Fold Change	gene	Fold Change	gene
723.318	SBK1	19.111	IGF2BP3
444.270	LMO3	18.849	FBXO15
378.243	CLCA1	18.705	TMPO
324.331	SLC24A3	18.696	SORD
299.377	CPXM1	18.058	MTL5
288.588	IGF2BP1	17.561	LRRC4C
240.303	PI15	17.279	AKAP7
164.669	KCNE3	16.650	MDK
147.131	XKR4	16.122	TSPAN13
132.741	PAX3	15.776	DENND2C
111.904	JAKMIP2	15.545	LOC283174
101.108	PROK2	15.171	PDS5B
86.034	FAT3	15.036	TMEM132B
84.145	EFNA1	14.913	MEX3A
75.912	LRRC10B	14.698	IQGAP2
73.150	EPHA4	13.731	CHRNA5
67.745	CCND2	13.652	RAB3IP
66.534	GCNT2	13.481	LOC644192
62.668	POU4F1	13.451	PDK3
62.244	ARPP21	13.380	ABHD3
53.994	LGR5	12.900	DGAT2
49.961	C9orf93	12.632	FZD3
45.890	KIAA1958	12.581	PLAG1
45.593	RGS16	12.576	STMN3
44.717	STRBP	12.449	STARD13
44.236	AIF1	12.448	KIAA0408
41.260	EPB41	12.217	LONRF1
35.714	FAM132B	12.072	SLC47A1
34.418	TMEFF2	12.003	F11R
34.111	HSD17B8	11.766	MYEF2
33.822	LOC100507421	11.717	CTSH
32.361	CBX2	11.562	CNTNAP2
31.399	SOX6	11.550	LRP4
30.966	CLDN1	11.543	CSRNP3
30.766	SYT1	11.447	TRHDE
29.708	PMAIP1	11.323	RAB38
28.243	OGDHL	11.320	RMND5A
28.218	PREX1	11.105	CDK5R1
27.622	MCF2L	11.092	CDS1
27.537	NEFH	11.066	FOXD3
27.302	BEND5	10.954	KL
27.088	DNAJC12	10.881	SLC35F2
25.901	SEPP1	10.825	CELSR2
25.576	DPYSL4	10.666	TMEM170B
25.286	CENPV	10.611	NAA38
25.008	FNDC5	10.593	QPRT
24.856	KIT	10.562	EZH2
24.696	PEG10	10.462	ETNK1
23.150	FAM60A	10.323	CADM1
22.884	GNA14	10.285	SALL2
22.406	SSTR1	10.257	CYFIP2
20.735	SEPT6	10.180	PRIM1
20.508	ATF5	10.121	WWOX
19.412	PDZD4	10.112	SKP2
19.405	ABHD6	10.074	TRPM4



表8. SK-ES-1においてhMSCと比較して発現レベルが10倍以上であった遺伝子

Fold Change	gene	Fold Change	gene
833.906	LM03	22.060	STOX2
592.833	SBK1	21.646	GCNT2
411.792	PROK2	20.972	HSD17B8
247.690	CCND2	18.881	SKP2
207.475	IGF2BP1	18.424	FAM60A
197.834	TMEFF2	18.145	LOC100505971
173.842	SLC24A3	17.522	SLC47A1
158.980	PI15	17.083	VASH2
140.781	JAKMIP2	16.554	KHDRBS3
140.638	POU4F1	16.225	TRHDE
120.980	EFNA1	16.002	CSRNP3
113.940	C9orf93	15.846	SALL2
110.882	XKR4	15.194	DPYSL4
103.265	FAT3	15.170	CLCA1
78.557	CLDN1	15.133	CYFIP2
77.120	KL	14.779	TMPO
73.372	AIF1	14.588	D4S234E
65.782	LRRC10B	13.739	PDS5B
64.846	KIAA1958	13.606	OPN3
61.865	KCNE3	13.246	PLAG1
57.113	SYT1	13.178	CELSR2
50.914	FOXD3	13.095	TAZ
50.651	DNAJC12	12.854	ARHGDI
45.571	EPB41	12.544	RNF182
43.460	ARPP21	12.469	MEX3A
43.414	CBX2	12.453	UBE2CBP
40.728	IQGAP2	12.385	MTL5
39.858	LOC100507421	12.307	SSX4/SSX4B
39.705	PEG10	12.069	RFX3
37.772	NEFH	12.059	MBNL3
37.462	RGS16	11.872	RAB39B
35.580	CNTNAP2	11.808	EZH2
32.427	ROBO2	11.626	CDS1
31.118	EPHA4	11.296	MDK
30.658	FNDC5	11.174	SORD
29.127	OGDHL	11.105	MYEF2
28.783	SSTR1	10.937	LOC100132999 (includes others)
27.512	KIT	10.790	WWOX
27.074	PDZD4	10.771	EXO1
27.043	CENPV	10.652	SYNE2
26.690	BEND5	10.583	CENPH
26.590	PAX3	10.583	LOC100510742/OCLN
26.559	F11R	10.377	QPRT
26.554	IGF2BP3	10.346	PCDHA6
25.544	CLEC2B	10.340	MARCKSL1
25.497	KIAA0408	10.250	FNB1
25.345	STRBP	10.190	NAA38
22.875	RAB3IP	10.153	STEAP2
22.526	SOX6	10.109	LONRF1
22.379	FAM132B		



表10. Hs822.T及びHs863TとともにhMSCと比較して発現レベルが10倍以上変化した遺伝子

	Hs822.T	Hs863.T
ASPHD1	-12.411	-32.973
BEND5	-16.720	-14.819
CCND2	38.078	37.702
CLEC2B	21.722	14.393
COBLL1	10.366	13.651
DAZL	28.201	51.854
DDX3Y	-440.269	-693.859
DLX6	-21.851	-33.004
EBF2	14.957	17.093
EPHA5	13.606	17.145
FBLN1	-18.992	-24.363
GPR37	-54.591	-42.967
GTSE1	-20.318	-12.768
HAPLN1	-22.460	-11.738
HGD	11.485	57.297
IFIT2	11.431	11.582
IGF2	-10.102	-10.298
IGF2BP1	22.847	22.358
KBTBD11	-19.146	-19.837
KIAA1644	-23.560	-197.845
KRT18	16.004	45.390
LGR5	21.948	56.218
LOC286191	13.992	14.699
LOC644192	17.155	16.397
MYO1D	14.812	14.920
NR2F2	13.371	11.744
ORC1 (includes EG:18392)	-17.740	-22.110
PCDH10	14.569	22.645
PCDH9	15.430	14.504
PENK	-109.973	-80.753
PLCXD2	-10.437	-10.732
PTPRB	156.101	116.305
PTPRO	13.164	52.231
S100B	-94.550	-143.480
SCARA3	-14.106	-12.357
SEMA3A	-39.826	-42.206
SGIP1	13.619	11.763
SHISA2	-25.702	-10.111
SLC24A3	38.867	75.637
SSTR1	79.594	14.840
STEAP4	-24.490	-18.837
THEMIS	14.520	22.218
TMEFF2	37.577	10.463
XIST	156.118	143.650

表11.

hMSCと比較してEwing肉腫細胞全てにおいてmRNA発現が10倍以上変化した遺伝子とその変化

	Hs822.T	Hs863.T	RD-ES	SK-ES-1
BEND5	-16.720	-14.819	27.302	26.690
CCND2	38.078	37.702	67.745	247.690
FBLN1	-18.992	-24.363	-36.755	-198.523
HAPLN1	-22.460	-11.738	-26.674	-110.084
IGF2BP1	22.847	22.358	288.588	207.475
SLC24A3	38.867	75.637	324.331	173.842
SSTR1	79.594	14.840	22.406	28.783
STEAP4	-24.490	-18.837	-21.747	-33.153
TMEFF2	37.577	10.463	34.418	197.834